

УДК 551.501.42

# Лидарные измерения плотности воздуха в средней атмосфере. Часть 1. Моделирование потенциальных возможностей в видимой области спектра

В.Н. Маричев<sup>1,2</sup>, Д.А. Бочковский<sup>1\*</sup>

<sup>1</sup>Институт оптики атмосферы им. В.Е. Зуева СО РАН  
634021, г. Томск, пл. Академика Зуева, 1

<sup>2</sup>Национальный исследовательский Томский государственный университет  
634050, г. Томск, пр. Ленина, 36

Поступила в редакцию 8.02.2013 г.

На основе численных расчетов проведен анализ потенциальных возможностей лидарных измерений плотности воздуха в средней атмосфере. Вычисления проводились для лидара с достаточно умеренными техническими характеристиками: передатчик — твердотельный Nd:YAG-лазер с длиной волны излучения 532 нм, энергией импульса 0,8 Дж, частотой посылок 20 Гц; приемная система — главное зеркало радиусом 0,3 и 0,5 м, поле зрения 0,1 и 1 мрад, спектральная ширина светофильтра — 0,5, 1 и 10 нм. Время накопления сигнала 10 мин при пространственном разрешении 1 км. Рассматривались три варианта зондирования: с уровня Земли, с борта самолета (высота полета 10 км) и с сегмента Международной космической станции из космоса с высотой орбиты 414 км.

*Ключевые слова:* плотность воздуха, средняя атмосфера, лидар; air density, middle atmosphere, lidar.

## Введение

Плотность воздуха наряду с температурой, давлением и влажностью является одной из основных метеорологических характеристик атмосферы. В атмосфере она испытывает экспоненциальное убывание с высотой от 1,2–1,3 г/м<sup>3</sup> на уровне земли до  $5 \cdot 10^{-4}$  г/м<sup>3</sup> на высоте 100 км [1]. На всех высотных уровнях средней атмосферы (20–80 км) наблюдается выраженный сезонный ход среднемесячных значений плотности с максимальными значениями летом и минимальными зимой для Северного полушария. Для Южного полушария сезонный ход противоположный [2]. Амплитуда годового колебания плотности воздуха увеличивается с широтой и с высотой. Для 70° с.ш. она имеет следующие осредненные значения на высоте 20 км — 8%, 40 — 24, 60 — 40, 80 км — 50%. Для 40° с.ш. соответствующие оценки составляют: 20 км — 4%, 40 — 10, 60 — 12, 80 км — 16%.

Мы привели некие средние значения изменения плотности воздуха средней атмосферы в зависимости от широты, высоты и времени года согласно модельному представлению CIRA-86 [3]. В реальности плотность воздуха атмосферы за счет воздействия быстродействующих и мелкомасштабных процессов подвержена значительным пространственно-временным колебаниям (включая суточные), и ее истинные зна-

чения будут существенно отличаться от модельных (<http://www.gect.ru/atmosphere/atmosphere.html>).

В большей степени колебания плотности происходят в термосфере. Так, например, летом в дневные часы плотность на высоте 200 км в 20 раз больше, чем зимой ночью (<http://www.newreferat.com/ref-2259-4.html>). Для суточных вариаций отчетливо проявляются колебания плотности ото дня к ночи. Максимум и минимум приходятся примерно на 14–16 и 4–6 ч местного времени. Диапазон колебаний может достигать на высоте 200 км 60–70%, а на высоте 300 км даже более 200%, т.е. плотность может изменяться в 2 раза. Наиболее резкие суточные вариации плотности наблюдаются в низких широтах, вблизи тропиков, экватора (<http://astroera.net/content/view/396/9/>).

Для решения отдельных научных и прикладных задач необходима оперативная информация о реальном высотном распределении плотности атмосферы. Прежде всего она нужна при проведении посадок космических аппаратов (КА), которые, возвращаясь на Землю, врываются в атмосферу со второй космической скоростью. Чтобы погасить эту скорость за счет торможения в атмосфере и осуществить прямой или планирующий спуск, благополучную посадку, надо знать характер колебаний плотности атмосферы. Даже небольшие отклонения на высотах, соответствующих так называемому коридору входа, приводят к значительному изменению расчетных траекторий, а также к сильнейшим перегрузкам, нагреву

\* Валерий Николаевич Маричев (marichev@iao.ru);  
Дмитрий Андреевич Бочковский (moto@iao.ru).

и даже разрушению корабля (<http://astroera.net/content/view/396/9/>).

Для расчетов движения КА используют единую, так называемую стандартную атмосферу. В России в настоящее время принята и используется стандартная атмосфера (ГОСТ 4401–81), которая устанавливает численные значения основных термодинамических и физических параметров атмосферы на высотах до 200 км (независимо от времени года и суток, а также от географического положения). Однако из-за непредсказуемости поведения профильных величин плотности точность таких расчетов явно не достаточна. Для примера, при каждом полете КА «Зонд» в район Индийского океана направлялись научно-исследовательские суда «Воейков» и «Шокальский», обеспечивающие зондирование атмосферы с помощью высотных ракет незадолго до момента входа КА в плотные слои атмосферы. На борт КА передавались специальные поправки на фактическое состояние атмосферы. Только такие меры позволили успешно осуществить полеты КА (<http://www.walkinspace.ru/blog/2010-12-02-282>).

Проводить измерения плотности атмосферы с помощью запуска ракет, как видно из приведенного примера, — мероприятие разовое и дорогостоящее. Нами для этих целей предлагается рассмотреть альтернативный вариант, а именно: применение лидарных методов и средств зондирования атмосферы. Развитие лидарных технологий привело к их широкому использованию для исследования состава и свойств средней атмосферы. В мировом масштабе лучшая лидарная техника сосредоточена на лидарных обсерваториях сети NDACC (Network for the Detection of Atmospheric Composition Change, <http://www.ndsc.ncep.noaa.gov/>). Более чем на 20 станциях этой сети проводятся регулярные наблюдения стратосферного и тропосферного озона, температуры, аэрозоля и стратосферных облаков [4, 5]. В России подобные лидарные исследования выполняются на лидарных станциях институтов РАН в Томске, Якутске, Петропавловске-Камчатском и Владивостоке. На них также наблюдаются озон, температура и аэрозоль в стратосфере и мезосфере [6–18]. Однако ни за рубежом, ни в России нет целенаправленных и систематических исследований особенностей изменения плотности атмосферы. Целью настоящей работы является проведение на первом этапе оценки потенциальных возможностей лидарных измерений плотности воздуха в средней и верхней атмосфере при зондировании с земли, самолета и космического аппарата.

## 1. Зондирование с уровня Земли

### 1.1. Лидарный сигнал и шумовые компоненты

Величина лидарного сигнала описывается уравнением лазерного зондирования, которое в приближении однократного упругого рассеяния света и при приеме излучения в режиме счета фотонов имеет следующий вид:

$$N_{\text{л}}(H, \Delta H) = \eta \frac{E_0}{h\nu} T_{\text{пт}} \frac{A \Delta H}{H^2} \times T_{\text{м}}^2(H) T_{\text{а}}^2(H) [\beta_{\text{мл}}(H) + \beta_{\text{ал}}(H)], \quad (1)$$

где  $N_{\text{л}}(H, \Delta H)$  — число фотонов, принимаемых с высоты  $H$  в интервале  $\Delta H$ ;  $E_0$  — энергия излучаемого лазерного импульса;  $h\nu$  — энергия одного фотона на длине волны лазера;  $\eta$  — квантовая эффективность фотоприемника;  $T_{\text{пт}}$  — пропускание приемопередающего оптического тракта лидара;  $A$  — площадь приемной апертуры лидара;  $T_{\text{м}}^2(H)$ ,  $T_{\text{а}}^2(H)$  — пропускание излучения слоем атмосферы (молекулярное и аэрозольное рассеяние) до зондирующего объема на расстоянии  $H$  и назад;  $\beta_{\text{мл}}(H)$ ,  $\beta_{\text{ал}}(H)$  — коэффициенты обратного молекулярного и аэрозольного рассеяния лазерного излучения.

В случае, когда на трассе зондирования отсутствует аэрозоль, что характерно для высот более 20–30 км, лидарный сигнал будет пропорционален величине обратного молекулярного рассеяния, а следовательно и плотности воздуха. Таким образом, в чистой молекулярной атмосфере непосредственно по лидарным сигналам можно отслеживать изменения плотности атмосферы на разных высотах.

На выходе фотоприемника формируется сигнал, который кроме лидарного сигнала содержит шумовые компоненты  $N_{\text{ф}}$  и  $N_{\text{т}}$ , возникающие за счет фоновых засветок и собственных темновых шумов:

$$N_{\Sigma}(H, \Delta H) = N_{\text{л}}(H, \Delta H) + N_{\text{ф}} + N_{\text{т}}. \quad (2)$$

Здесь

$$N_{\text{ф}} = T_{\text{п.с}} \frac{B_z}{h\nu} A \Omega \Delta \lambda \frac{2 \Delta H}{c}, \quad (3)$$

$T_{\text{п.с}}$  — пропускание приемной системы;  $B_z$  — яркость неба в зените;  $\Omega$  — телесный угол поля зрения приемной системы лидара;  $\Delta \lambda$  — спектральная ширина светофильтра;  $c$  — скорость света;

$$N_{\text{т}} = \frac{2 \Delta H}{c} f_{\text{т}}, \quad (4)$$

$f_{\text{т}}$  — скорость выхода темновых фотоимпульсов.

При проведении серийных наблюдений суммарный сигнал с фотоприемника запишется как

$$N_{\Sigma}(H, \Delta H, \Delta t) = [N_{\text{л}}(H, \Delta H) + N_{\text{ф}} + N_{\text{т}}] f \Delta t, \quad (5)$$

где  $\Delta t$  — время измерения;  $f$  — частота посылки лазерных импульсов.

### 1.2. Формулы для расчета плотности и стандартного отклонения

При условии зондирования атмосферы, начиная с высот 20 км и более, плотность атмосферы  $\rho$  связана с молекулярным коэффициентом обратного рассеяния и лидарным сигналом определенными константами:

$$\rho(H) = \text{const}_1 \beta_{\text{мл}}(H) = \text{const}_2 \frac{N_{\text{л}}(H)}{H^2}. \quad (6)$$

В данном случае предполагается, что пропускание слоя атмосферы выше 20 км равно 1, а все ослабление излучения происходит ниже уровня 20 км и  $T_m^2(H)$ ,  $T_a^2(H)$  являются константами и входят в  $\text{const}_2$ . Значение  $\text{const}_2$  может быть определено при калибровке на определенной высоте, для которой известна величина плотности. Тогда профиль плотности атмосферы

$$\rho(H) = \frac{N_{\text{л}}(H)H^2}{N_{\text{л}}(H_k)H_k^2} \rho(H_k), \quad (7)$$

где  $H_k$  – высота калибровки.

Среднеквадратическая ошибка измерений определяется статистикой Пуассона, свойственной для лидарных сигналов, и будет равна

$$\frac{\delta\rho(H)}{\rho} = \left\{ \frac{N_{\text{л}}(H_k) + N_{\text{ф}} + N_{\text{т}}}{[N_{\text{л}}(H_k)]^2} + \frac{N_{\text{л}}(H) + N_{\text{ф}} + N_{\text{т}}}{[N_{\text{л}}(H)]^2} \right\}^{1/2}. \quad (8)$$

### 1.3. Исходные данные

Расчеты лидарных сигналов проводились для двух апертур диаметрами 0,3 и 0,5 м и для излучения на длине волны 532 нм в интервале высот 20–100 км при следующих входных параметрах:  $\eta = 0,1$ ,  $E_0 = 0,8$  Дж,  $h\nu = 3,736 \cdot 10^{-19}$  Дж,  $T_{\text{шт}} = 0,2$ ,  $T_m^2(H)T_a^2(H) = 0,34$ ,  $\Delta H = 1$  км,  $f = 20$  Гц,  $\Delta t = 600$  с.

Обратный коэффициент молекулярного рассеяния вычислялся через объемный коэффициент рэлеевского рассеяния  $\beta_g$  по формуле  $\beta_{\text{мл}} = \frac{1,5\beta_g}{4\pi}$ . Вертикальное распределение  $\beta_g$  бралось из модели [19].

Значение фонового сигнала рассчитывалось для  $T_{\text{п.с}} = 0,3$  при трех значениях ширины интерференционного фильтра и двух значениях поля зрения приемного телескопа:  $\Delta\lambda_1 = 0,5$ ,  $\Delta\lambda_2 = 1$ ,  $\Delta\lambda_3 = 10$  нм;  $\gamma_1 = 1$ ,  $\gamma_2 = 0,1$  мрад.

Рассматривались пять разных значений яркости неба (дневные и сумеречные), взятых из [20], и одно – для ночного времени:  $B_{z_1} = 10^{-2}$ ,  $B_{z_2} = 10^{-3}$ ,  $B_{z_3} = 10^{-4}$ ,  $B_{z_4} = 10^{-4}$ ,  $B_{z_5} = 10^{-5}$ ,  $B_{z_6} = 0$ ,  $B_{z_1} \div B_{z_6}$  [Вт · см<sup>-2</sup> · ср · мкм<sup>-1</sup>].

При расчете темновой компоненты шума скорость выхода темновых фотоимпульсов задавалась величиной  $f_t = 50$  имп/с. Наконец, калибровка проводилась на высоте 20 км, где значение плотности атмосферы по модели [11] равнялось 8,7 г/м<sup>3</sup>.

## 2. Результаты расчета

### 2.1. Зондирование с уровня Земли

Результаты расчета среднеквадратического отклонения лидарных измерений плотности атмосферы с уровня Земли приведены на рис. 1, 2.

На рис. 1 для зеркала радиусом 0,3 м и разных полей зрения показаны погрешности измерений с шириной светофильтров 10, 1 и 0,5 нм. Видно, что при поле зрения 1 мрад (рис. 1, а–в) при дневных условиях измерение плотности атмосферы с приемлемой точностью 10% можно проводить до высот 35–42 км в зависимости от ширины светофильтров. Для сумеречных условий потолок увеличивается до высот 55–60 км и ночью может достигать более 70 км.

Точностные характеристики значительно улучшаются при более узком поле зрения 0,1 мрад (рис. 1, г–е), которое, в силу сложности его реализации в приемопередатчике лидара, следует считать предельным. Днем уровень 10%-й погрешности отмечается на высотах 50–57, в сумерках – 55–70 и ночью до высот 80 км.

На рис. 2 аналогичные графики приведены для диаметра зеркала 1 м. При поле зрения 1 мрад измерения плотности атмосферы на уровне 10% можно проводить до высот 40–45, в сумерках – от 45 до 60 и ночью до 75–80 км. Для поля зрения 0,1 мрад соответствующие показатели следующие: день – 50–60, сумерки – 60–70, ночь – 70–80 км.

### 2.2. Зондирование с борта самолета

Зондирование с борта самолета предполагалось на высоте 10 км в направлении в зенит. По сравнению с зондированием с уровня Земли зондирование с самолета приводит к сокращению величины фоновых засветок примерно в 4 раза и к ослаблению сигнала в 3 раза за счет исключения двойного прохождения лучом слоя атмосферы 0–10 км. Указанные обстоятельства свидетельствуют о преимуществах самолетных измерений.

Результаты расчета, выполненные для тех же параметров лидара, что и при измерениях с уровня Земли, приведены на рис. 3, 4.

На рис. 3 показаны погрешности измерений с зеркалом радиусом 0,3 м. Потолок зондирования на уровне 10%-й погрешности для дневных условий возрос до 40–50, для сумеречных до 50–60 и ночью до 55–70 км при измерениях на светофильтрах со спектральными ширинами 10 и 0,5 нм и полем зрения 1 мрад. Соответствующие показатели составили 55–65, 60–70 и 70–80 км для поля зрения 0,1 мрад. При приеме сигналов зеркалом диаметром 0,5 м (рис. 4) высота зондирования с 10%-м уровнем погрешности увеличилась, но не существенно.

При увеличении радиуса зеркала до 0,5 м с полем зрения 1 мрад эта высота возросла примерно на 5 км. Предельные точностные характеристики измерений достигаются при наиболее узком поле зрения 0,1 мрад. Днем при стандартном отклонении 10% доступны высоты до 65, в сумерки – до 75 и ночью – до 85 км.

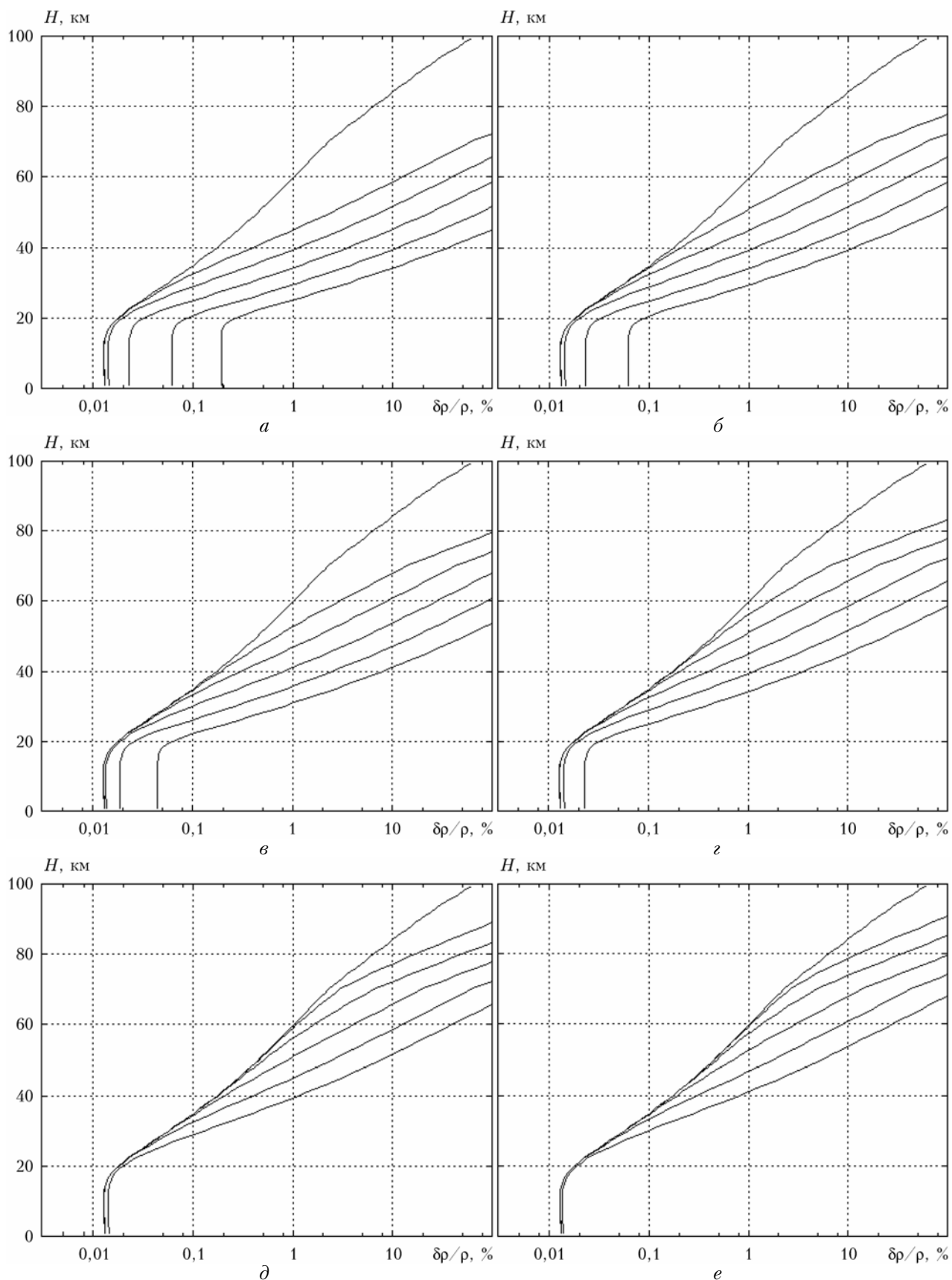


Рис. 1. Стандартное отклонение измерений плотности атмосферы с приемной апертурой радиусом 0,3 м для поля зрения 1 (*a–в*), 0,1 мрад (*г–е*). Кривые снизу вверх идут от значений яркости  $B_{z_1}$  до  $B_{z_6}$ . Ширина светофильтров приведена в последовательности 10, 1 и 0,5 нм

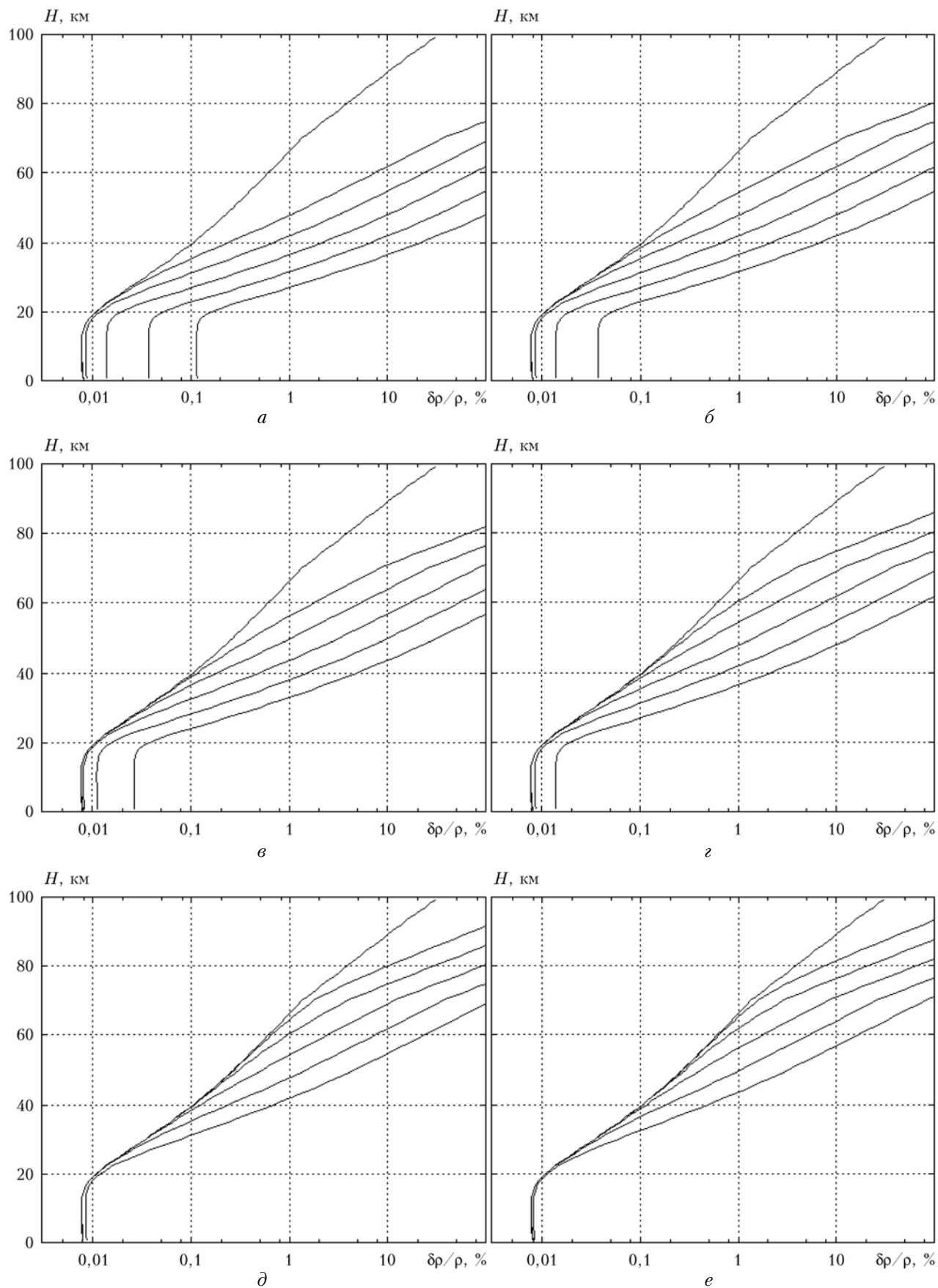


Рис. 2. То же, что и на рис. 1, для приемной апертуры радиусом 0,5 м

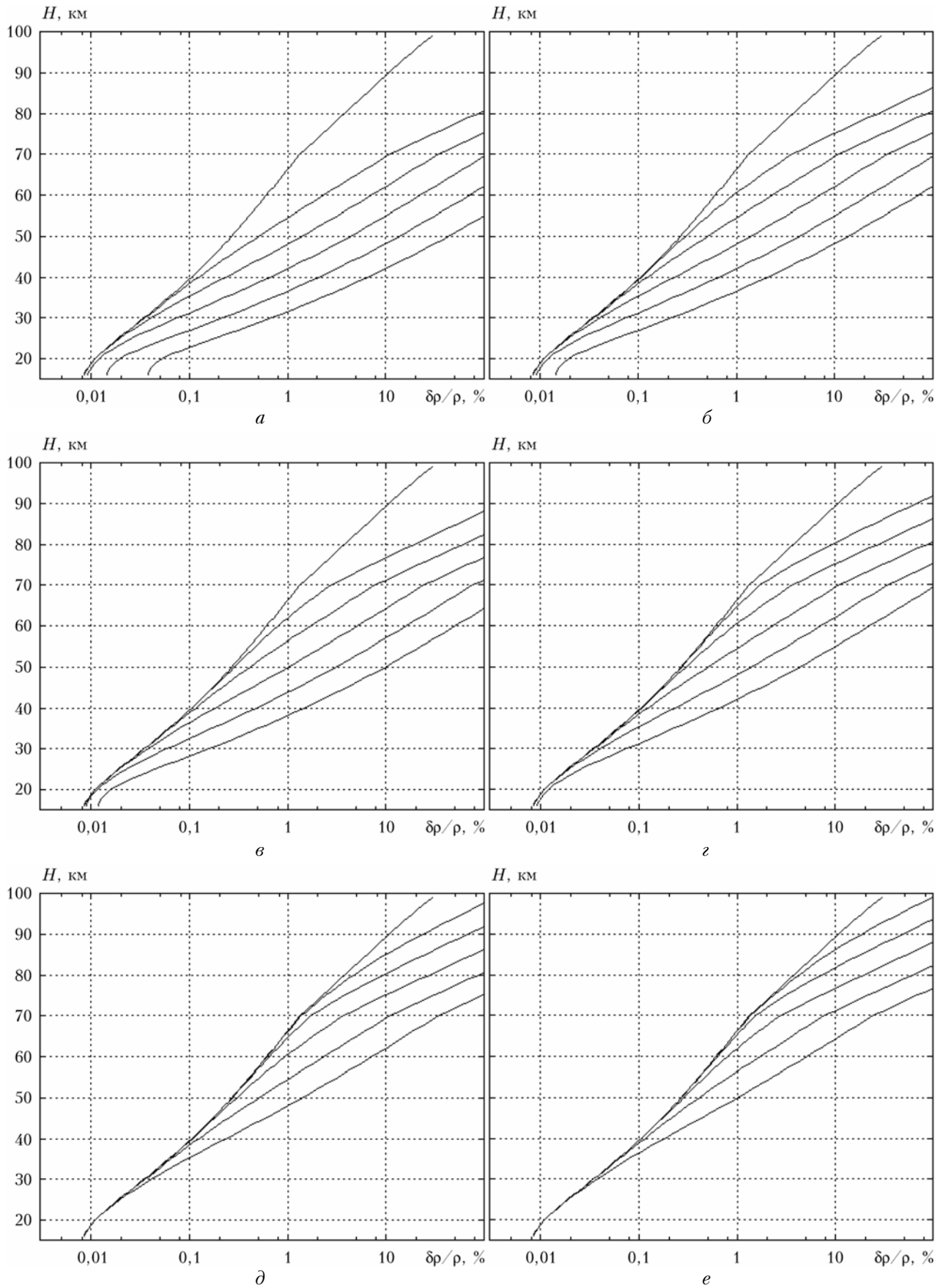


Рис. 3. То же, что и на рис. 1, для варианта зондирования с борта самолета

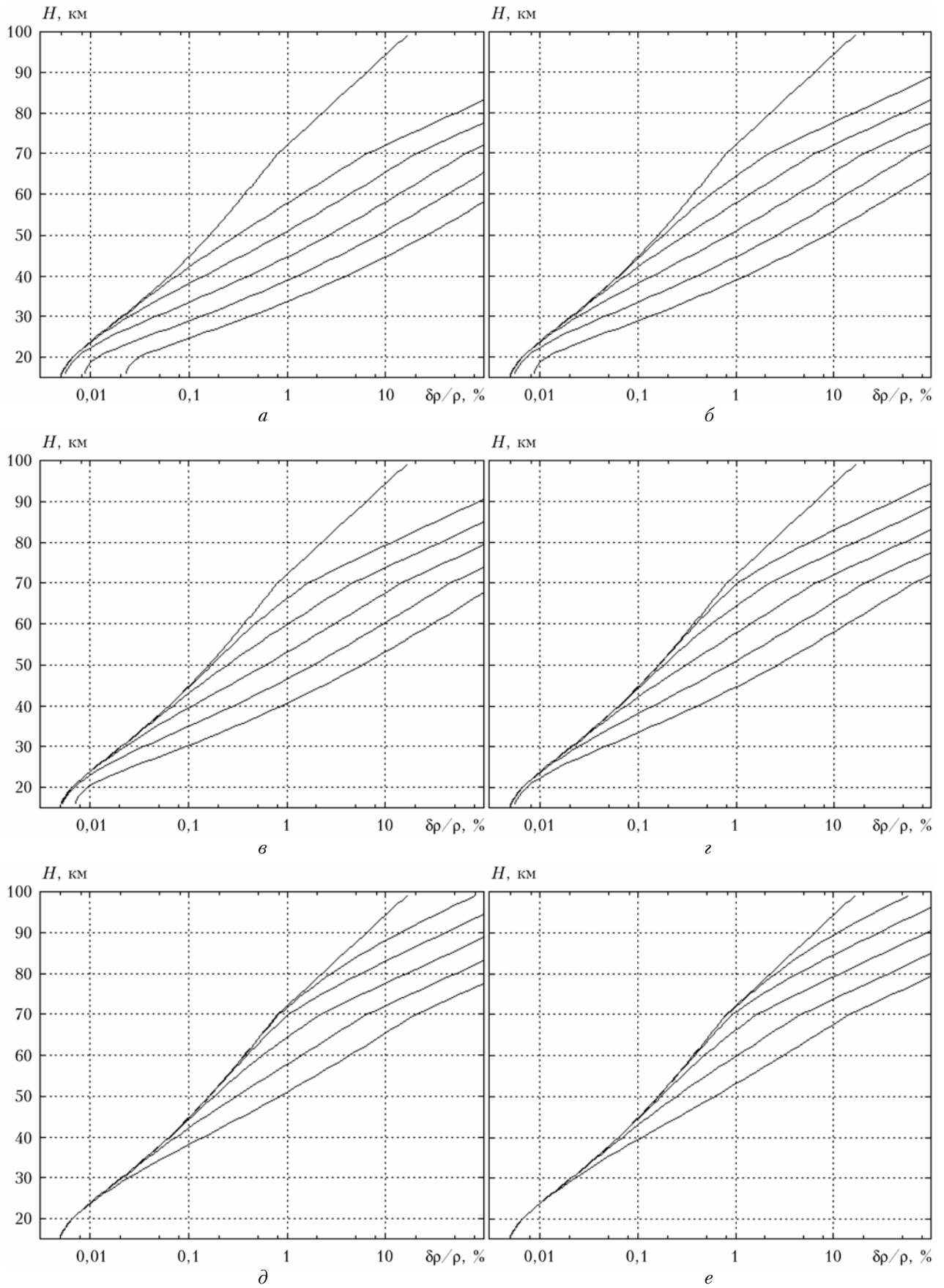


Рис. 4. То же, что и на рис. 2, для варианта зондирования с борта самолета  
**Лидарные измерения плотности воздуха в средней атмосфере. Часть 1...**

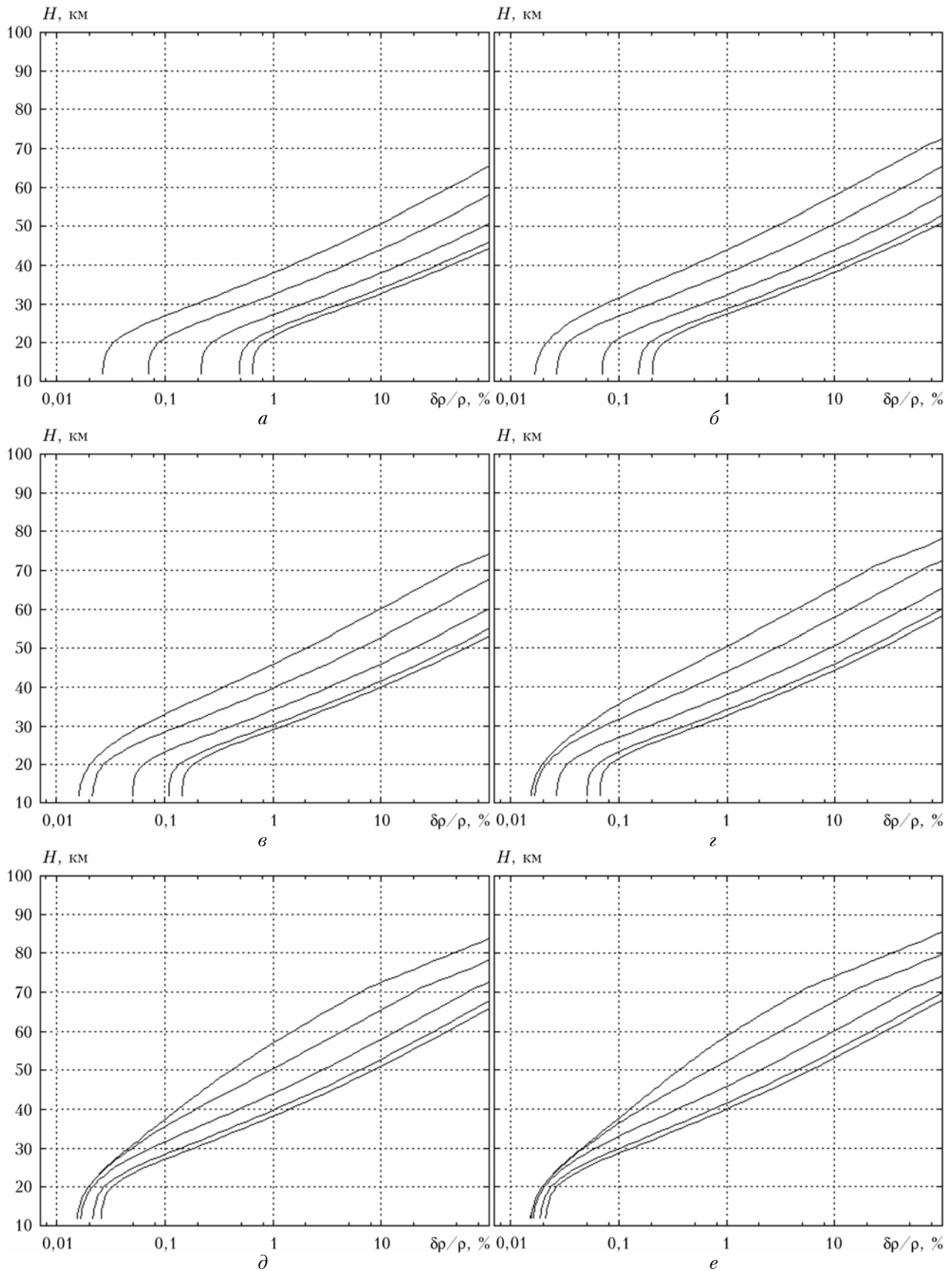


Рис. 5. Стандартное отклонение измерений плотности атмосферы для варианта зондирования с сегмента МКС. Приемная апертура радиусом 0,3 м для поля зрения 1 (*a–e*), 0,1 мрад (*z–e*). Кривые снизу вверх идут от больших значений альbedo к меньшим (0,9–0,001)

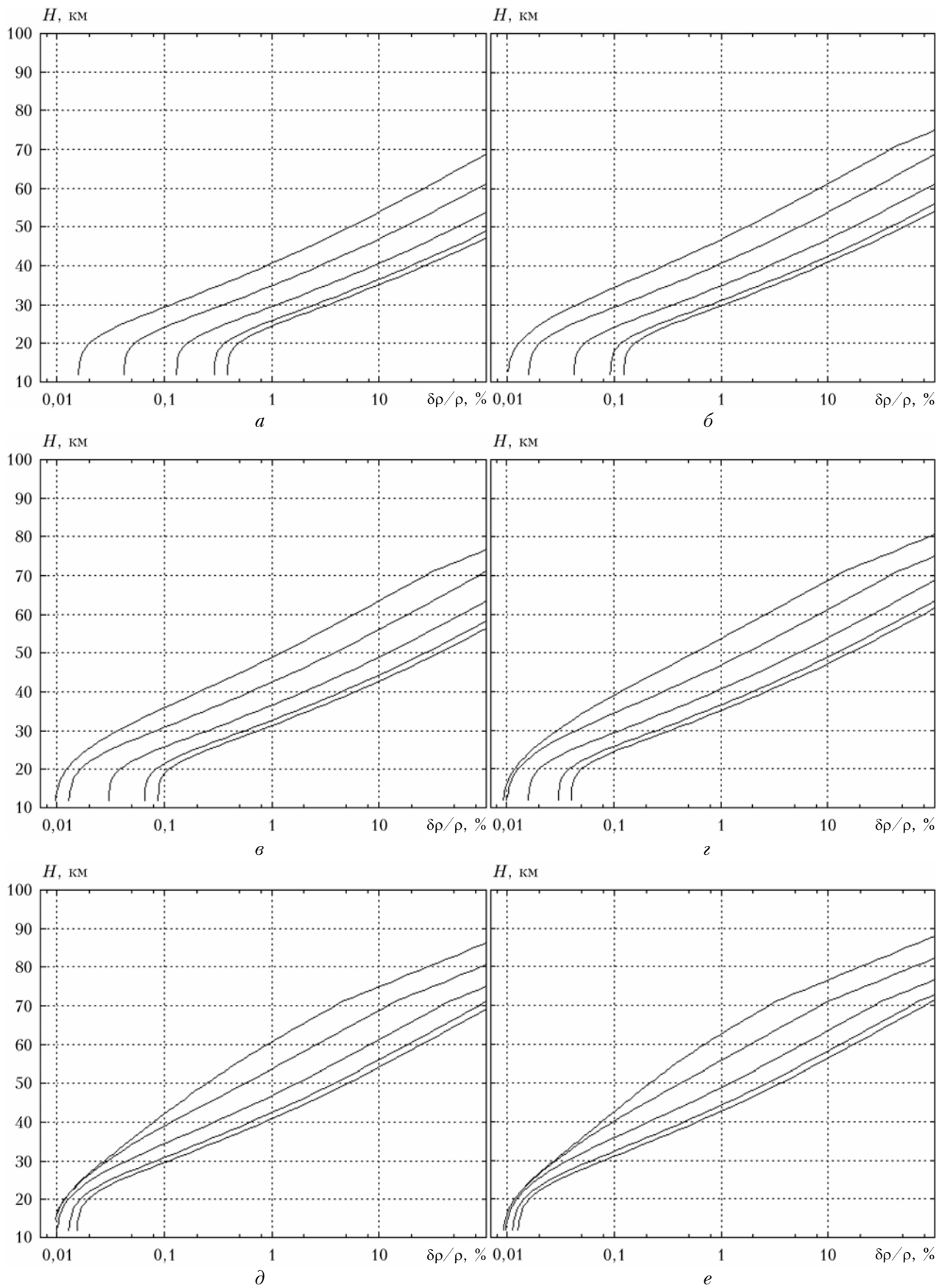


Рис. 6. То же, что и на рис. 5, для приемной апертуры радиусом 0,5 м

### 3. Зондирование с борта космического аппарата

Данный вариант предполагает измерения плотности атмосферы лидаром, установленным на сегменте Международной космической станции (МКС) с высотой орбиты вращения  $H_{ор} = 414$  км. Преимуществом зондирования из космоса является увеличение сигнала пропорционально плотности воздуха по экспоненциальной зависимости по мере его вхождения в атмосферу, а недостатком — большое расстояние, квадрат которого приводит к значительному уменьшению лидарного сигнала.

Расчет лидарного сигнала проводился по выражению (1), где высота  $H$  заменялась на текущее значение  $H_{ор} - H$ , а шум от фоновой засветки по формуле

$$N_{ф} = T_{п.с} \frac{E S_{п.с} A}{H_{ор}^2 h\nu} \frac{2\Delta H}{c} T(H_{ор} - H) A_3, \quad (9)$$

где  $E$  — освещенность подстилающей поверхности;  $S_{п.с}$  — площадь пятна на поверхности, выделяемой полем зрения приемной системой лидара;  $T(H_{ор} - H)$  — прозрачность слоя  $H_{ор} - H$ ;  $A_3$  — альbedo подстилающей поверхности.

Согласно работе [21] освещенность поверхности в дневное время задавалась величиной  $E = 1,2 \text{ Вт} \cdot \text{м}^{-2} \cdot \text{нм}^{-1}$ . Для альbedo вводились значения 0,1, 0,5 и 0,9, а также 0,001 и 0,01, имитирующие измерения в ночное время.

На рис. 5 приведены точностные характеристики измерений космическим лидаром с радиусом приемного зеркала 0,3 м.

Видно, что они значительно хуже по сравнению с наземным и самолетным зондированием, но их разброс между наблюдениями днем и ночью существенно сократился, примерно до интервала 10 км. В зависимости от спектральной ширины светофильтра при поле зрения 1 мрад наблюдения с погрешностью 10% днем можно проводить до высот 33–40, ночью — до 45–55 км. Для поля зрения 0,1 мрад (рис. 6) эти показатели заметно улучшаются и охватывают диапазоны высот 45–55 и 57–67 км.

#### Заключение

Из анализа потенциальных возможностей лидарных измерений плотности атмосферы на основе результатов расчета выявлено очевидное преимущество зондирования с борта самолета. Оно достигается исключением двойного прохождения луча в наиболее сильно рассеивающем нижнем слое 0–10 км, квадрат прозрачности которого составляет около 0,1, и уменьшением фоновых засветок в 4 раза. Показано, что при достаточно умеренных параметрах лидара с приемной апертурой радиуса 0,3–0,5, Nd:YAG-лазера с энергией импульса 0,8 Дж на длине волны 532 нм, частотой посылок 20 Гц, при реальных полях зрения приемной системы 0,1–1 мрад, спектральных ширинах светофильтров 0,5–10 нм и небольшим временем накопления сигнала 10 мин на

уровне стандартного отклонения 10% для самолетного варианта достижимы высоты: 40–65 км днем, 50–70 в сумерках, 55–80 ночью. При наблюдениях из космоса за счет большого удаления КА от объекта зондирования подобные показатели самые низкие: 33–55 км днем, 45–67 ночью. При наземных измерениях диапазоны достижимых высот занимают промежуточное положение.

Авторы выражают благодарность Г.Г. Матвиенко за постановку задачи.

Работа выполнена при финансовой поддержке интеграционного проекта СО РАН № 106, гранта РФФИ № 10-05-00907а, а также Минобрнауки РФ (ГК № 14.518.11.7053, соглашение № 14.B37.21.0612, № 8510).

1. McClathey R.A., Fenn F.W., Selby J.E., Volz F.E., Garing J.S. Optical Properties of the Atmosphere // Environ. Res. Papers AFCRL-71-0279. N 354. 1971. 85 p.
2. *Атмосфера*: Справочник. Л.: Гидрометеиздат, 1991. 510 с.
3. Rees D., Barnett J.J., Labitske K. COSPAR International Reference Atmosphere: 1986, Part II, Middle Atmosphere Models // Adv. Space Res. 1990. V. 10, N 12.
4. Angot G., Kecckhut Ph., Hauchecorne A., Claud Ch. Contribution of stratospheric warmings to temperature trends in the middle atmosphere from the lidar series obtained at Haute-Provence Observatory (44° N) // J. Geophys. Res. 2012. V. 117. D21102.
5. Zann U., Cossart G., Fiedler J., Fricke K.H., Nelke G., Baumgarten G., Röss D., Hauchecorn A., Adolfsen K. The ALOMAR Rayleigh/Mie/Raman lidar objectives, configuration, and performance // Ann. Geophys. 2000. V. 18. P. 815–833.
6. Бурлаков В.Д., Долгий С.И., Невзоров А.В., Самохвалов И.В., Насонов С.В., Животенко И.В., Ельников А.В., Назаров Е.В., Плюснин И.И., Шиханцов А.М. Следы извержения вулкана Эйяфьятлайокудль по данным лидарных наблюдений в Томске и Сургуте // Оптика атмосфер. и океана. 2011. Т. 24, № 10. С. 872–879.
7. Бурлаков В.Д., Долгий С.И., Невзоров А.В. Лидарные наблюдения аэрозольных возмущений стратосферы над Томском (56,5° с.ш.; 85,0° в.д.) в период вулканической активности 2006–2010 гг. // Оптика атмосфер. и океана. 2011. Т. 24, № 12. С. 1031–1040.
8. Балин Ю.С., Тихомиров А.А. История создания и работы в составе орбитальной станции «Мир» первого российского космического лидара БАЛКАН // Оптика атмосфер. и океана. 2011. Т. 24, № 12. С. 1078–1087.
9. Маричев В.Н. Лидарные исследования проявления стратосферных потеплений над Томском в 2008–2010 гг. // Оптика атмосфер. и океана. 2011. Т. 24, № 5. С. 386–391.
10. Черемисин А.А., Маричев В.Н., Новиков П.В. Лидарные наблюдения за содержанием вулканического аэрозоля в атмосфере над Томском // Метеорол. и гидрол. 2011. № 9. С. 46–56.
11. Бычков В.В., Пережогин А.С., Шевцов Б.М., Маричев В.Н., Новиков П.В., Черемисин А.А. Учет импульсов последствия ФЭУ в лидарных сигналах средней атмосферы Камчатки // Оптика атмосфер. и океана. 2011. Т. 24, № 2. С. 107–113.
12. Маричев В.Н., Самохвалов И.В. Лидарные наблюдения аэрозольных вулканических слоев в стратосфере Западной Сибири в 2008–2010 гг. // Оптика атмосфер. и океана. 2011. Т. 24, № 3. С. 224–231.
13. Маричев В.Н. Исследование особенностей проявления зимних стратосферных потеплений над Томском по дан-

- ным лидарных измерений температуры в 2010–2011 гг. // Оптика атмосфер. и океана. 2011. Т. 24, № 12. С. 1041–1046.
14. Бычков В.В., Пережогин А.С., Пережогин А.С., Шевцов Б.М., Маричев В.Н., Матвиенко Г.Г., Белов А.С., Черемисин А.А. Лидарные наблюдения появления аэрозолей в средней атмосфере Камчатки в 2007–2011 гг. // Оптика атмосфер. и океана. 2012. Т. 25, № 1. С. 87–93.
  15. Бычков В.В., Шевцов Б.М., Маричев В.Н. Некоторые среднестатистические характеристики появления аэрозольного рассеяния в средней атмосфере Камчатки // Оптика атмосфер. и океана. 2012. Т. 25, № 8. С. 868–870.
  16. Маричев В.Н. Исследование изменчивости вертикальной структуры фонового аэрозоля в стратосфере над Томском на основе лидарных наблюдений в 2010–2011 гг. // Оптика атмосфер. и океана. 2012. Т. 25, № 11. С. 976–984.
  17. Маричев В.Н., Матвиенко Г.Г., Лисенко А.А., Илюшик В.Ю., Куликов Ю.Ю., Красильников А.А., Рыскин В.Г., Бычков В.В. Первые результаты комплексного эксперимента по зондированию средней атмосферы в оптическом и миллиметровом диапазонах волн (над Томском) // Оптика атмосфер. и океана. 2012. Т. 25, № 12. С. 1091–1095.
  18. Павлов А.Н., Столярчук С.Ю., Шмирко К.А., Букин О.А. Лидарные исследования изменчивости вертикального распределения озона под влиянием процессов стратосферно-тропосферного обмена в Дальневосточном регионе // Оптика атмосфер. и океана. 2012. Т. 25, № 9. С. 788–795.
  19. Итолитов И.И., Комаров В.С., Мицель А.А. Оптико-метеорологическая модель атмосферы для моделирования лидарных измерений и расчета распространения радиации // Спектрометрические методы зондирования атмосферы. Новосибирск: Наука, 1985. С. 4–44.
  20. Кушпиль В.И. Яркость дневного безоблачного неба: экспериментальные данные. М.: Изд-во ГОИ, 1971. 164 с.
  21. Djeff D. A Clear-Sky Spectral Solar Radiation Model for Snow-Covered Mountainous Terrain // Water Resources Res. 1980. V. 16, N 4. P. 709–718.

*V.N. Marichev, D.A. Bochkovsky. Lidar measurements of air density in the middle atmosphere. Part 1. Modeling of the potential capabilities in the visible spectral range.*

In the present paper, the potential capabilities of lidar measurements of the atmospheric density in the middle atmosphere are analyzed. Calculations are performed for a lidar with quite moderate specifications: transmitter comprising a solid Nd:YAG-laser with a wavelength of 532 nm, pulse energy of 0.8 J, and repetition frequency of 20 Hz; and receiving system comprising primary mirrors with radii of 0.3 and 0.5 m, field-of-view angles of 0.1 and 1 mrad, and spectral widths of the filter of 0.5, 1, and 10 nm. The signal acquisition time is 10 min for spatial resolution of 1 km. Three sensing options are analyzed: from the ground level, from an aircraft (at 10-km flight altitude), and from an ISS with orbit altitude of 414 km.